

# 카오스 이동 로봇에서의 목표물 탐색 방법

## Target Searching Method in the Chaotic Mobile Robot

배 영철, 김 이곤

여수대학교 전자통신전기공학부

Young-Chul Bae, Yi-Gon Kim

Divi. of Electronic Communication and Electrical Engineering of Yosu National University

E-mail : ycabe@yosu.ac.kr

### 요 약

본 논문은 하이퍼카오스, 로렌츠, 해밀턴 방정식과 같은 여러 종류의 카오스 회로를 이동 로봇에 내장하여 카오스 이동 로봇을 구성하고 이 카오스 이동 로봇이 어느 임의 평면을 카오스 궤적을 가지고 탐색하다가 목표물에 근접하거나 탐색하고자 하는 목표물이 확인되면 집중적인 탐색을 실행하는 방법을 제시하고 그 결과를 검증하였다. 목표물 탐색에서는 장애물 회피와 유사한 카오스 궤적을 가지고 탐색하도록 하는 알고리즘을 개발하고 그 결과를 검증하였으며 이에 대한 타당성을 확인하였다.

### 1. 서론

카오스 이론은 거의 20년 동안 과학 분야에서 큰 관심을 받아 왔었다. 최근에 물리나 수학으로부터 실세계 공학 응용에 적용하고자 하는 시도에 대한 연구 노력이 활발하게 진행되고 있다. 카오스의 응용은 카오스 제어[2], 카오스 동기화, 비밀/암호 통신[3-5], 화학[6], 생물학[7], 로봇과 로봇에 관련된 영역[10]과 같은 분야에 대한 활발한 연구가 있었다. 최근에 Nakamura, Y. et al[1]은 아놀드 방정식으로 표현되는 카오스 이동 로봇을 소개하고 이 카오스 로봇이 가지는 궤적이 카오스적인 특성이 있음을 연구하였다. 이 논문에서는 아놀드 방정식을 내장한 카오스 로봇이 카오스적인 특성과 고정 장애물을 두어 고정 장애물을 카오스 로봇이 피해 가는 방법을 제공하였으며, 배영철[15-19] 등은 카오스 이동 로봇에

서 고정 장애물뿐만 아니라 은닉 장애물과 이동 장애물이 있을 때 이를 피해 하는 방법을 제시하였으나 목표물 부근과 목표물을 카오스 로봇이 집중적인 탐색을 행하는 방법에 대한 연구는 진행하지 못하였다.

이에 본 논문은 하이퍼카오스, 로렌츠, 해밀턴 방정식과 같은 여러 종류의 카오스 회로를 이동 로봇에 내장하여 카오스 이동 로봇을 구성하고 이 카오스 이동 로봇이 어느 임의 평면을 카오스 궤적을 가지고 탐색하다가 목표물에 근접하거나 탐색하고자 하는 목표물이 확인되면 집중적인 탐색을 실행하는 방법을 제시하고 그 결과를 검증하였다. 목표물 탐색에서는 장애물 회피와 유사한 카오스 궤적을 가지고 탐색하도록 하는 알고리즘을 개발하고 그 결과를 검증하였으며 이에 대한 타당성을 확인하였다.

## 2. 카오스 이동 로봇 방정식

### 2.1 이동 로봇

이동 로봇의 수학적 모델을 설계하기 위하여 그림 1에 2바퀴를 가진 이동 로봇을 가정하여 나타내었다.

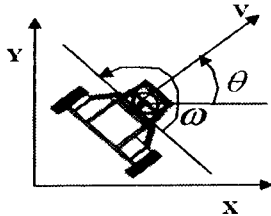


그림 1. 이동 로봇

로봇의 선형 속도를  $v[m/s]$ , 각속도  $w[rad/s]$ 를 시스템의 입력이라 놓으면 이동 로봇의 상태 방정식은 식(1)과 같이 표현된다.

$$\begin{pmatrix} \dot{x}_1 \\ \dot{y}_1 \\ \dot{\theta} \end{pmatrix} = \begin{pmatrix} \cos \theta & 0 \\ \sin \theta & 0 \\ 0 & 1 \end{pmatrix} \begin{pmatrix} v \\ w \end{pmatrix} \quad (1)$$

여기서  $(x[m], y[m])$ 는 로봇의 위치,  $\theta[rad]$ 은 로봇의 각도이다.

### 2.2 하이퍼카오스 방정식을 가진 카오스 이동 로봇

식(2)에 하이퍼카오스 회로의 상태방정식을 나타내었으며 식(1)과 식(2)의 방정식으로부터 얻어진 하이퍼카오스 회로를 내장한 카오스 이동 로봇의 상태 방정식을 식(3)에 나타내었다.

$$\begin{aligned} \dot{x} &= a[y - h(x)] \\ \dot{y} &= x - y + z \\ \dot{z} &= -\beta y \end{aligned} \quad (2)$$

$$\begin{pmatrix} \dot{x}_1 \\ \dot{x}_2 \\ \dot{x}_3 \\ \dot{x} \\ \dot{y} \end{pmatrix} = \begin{pmatrix} a[y^{(j)} - h(x^{(j)}) + D_x(x^{(j-1)} - 2x^{(j)} + x^{(j+1)})] \\ x^{(j)} - y^{(j)} + z^{(j)} \\ -\beta y^{(j)} \\ v \cos x_3 \\ v \sin x_3 \end{pmatrix} \quad (3)$$

2.3 로렌츠 방정식을 가진 카오스 이동 로봇  
식(4)에 로렌츠 회로의 상태 방정식을 나타내었으며 식(1)과 식(4)의 방정식으로부터 얻어진 로렌츠 회로를 내장한 카오스 이동 로봇의 상태 방정식을 식(5)에 나타내었다.

$$\begin{aligned} \dot{x} &= \sigma(y - x) \\ \dot{y} &= \gamma x - y - xz \\ \dot{z} &= xy - bz \end{aligned} \quad (4)$$

$$\begin{pmatrix} \dot{x}_1 \\ \dot{x}_2 \\ \dot{x}_3 \\ \dot{x} \\ \dot{y} \end{pmatrix} = \begin{pmatrix} \sigma(y - x) \\ \gamma x - y - xz \\ xy - bz \\ v \cos x_3 \\ v \sin x_3 \end{pmatrix} \quad (5)$$

2.3 해밀톤 방정식을 가진 카오스 이동 로봇  
해밀톤 방정식을 로봇에 내장하기 위하여 식(6)과 같이 주어지는 해밀톤 방정식을 고려하였으며 식(1)과 식(10)을 이용하여 해밀톤 방정식을 내장한 카오스 로봇의 상태 방정식을 식(7)과 같이 구성할 수 있다.

$$\begin{aligned} \dot{x}_1 &= x_1(13 - x_1^2 - y_1^2) \\ \dot{x}_2 &= 12 - x_1(13 - x_1^2 - y_1^2) \end{aligned} \quad (6)$$

$$\begin{pmatrix} \dot{x}_1 \\ \dot{x}_2 \\ \dot{x} \\ \dot{y} \end{pmatrix} = \begin{pmatrix} x_1(13 - x_1^2 - y_1^2) \\ 12 - x_1(13 - x_1^2 - y_1^2) \\ v \cos x_3 \\ v \sin x_3 \end{pmatrix} \quad (7)$$

## 3. 은닉 장애물

카오스 이동 로봇에서 은닉 장애물을 표시하기 위하여 식(8)로 표시하는 VDP(Van der Pol) 방정식을 이동 로봇의 장애물로 가정하였다.

$$\begin{aligned} \dot{x} &= y \\ \dot{y} &= (1 - y^2)y - x \end{aligned} \quad (8)$$

식(8)로부터 그림 2와 같은 리미트 사이클을 얻을 수 있으며, 이 리미트 사이클을 장애물로 가정하였다.

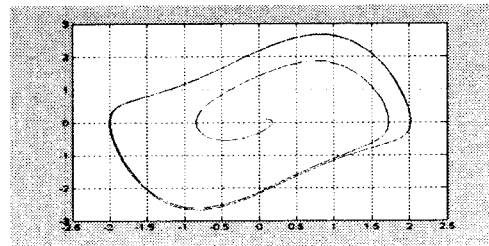


그림 2. VDP의 리미트 사이클

#### 4. 목표물 탐색

본 연구에서는 로봇이 탐색할 때 특정의 목표물이 발견되면 특정 반경을 설정하고 그 목표물에 대해 로봇이 집중적인 탐색을 하도록 설계하였다.

##### 4.1 하이퍼카오스 로봇에서의 목표물 탐색

그림 3-5은 하이퍼카오스 로봇에서 목표물을 발견하였을 때 집중적인 탐색 결과를 나타내었다. 그림 3는 장애물과 4개의 목표물, 그림 4는 고정 장애물, 은닉 장애물, 목표물을 그림 5는 2개의 목표물이 주어질 때 탐색 결과를 나타내었다.

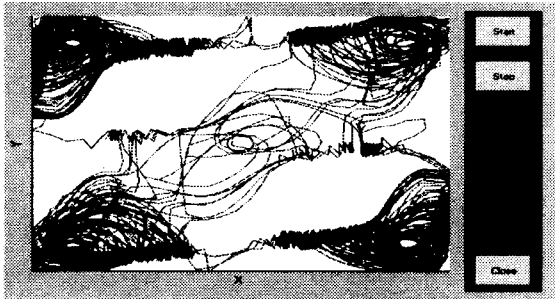


그림 3. 장애물과 목표물을 가진 카오스 이동 로봇에서 목표물 집중 탐색 궤적

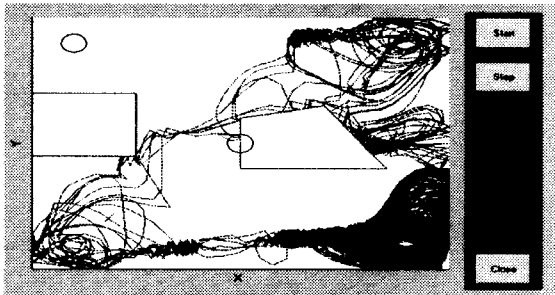


그림 4. 고정 및 은닉 장애물과 목표물을 가진 카오스 이동 로봇에서 목표물 집중 탐색 궤적

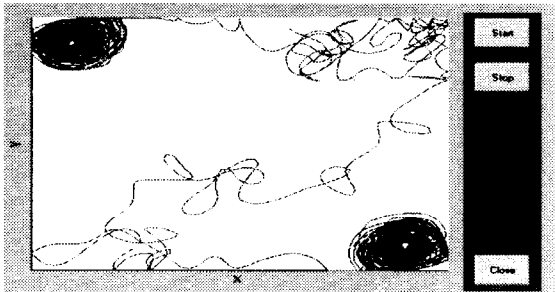


그림 5. 목표물을 가진 카오스 이동 로봇에서 목표물 집중 탐색 궤적

##### 4.2 로렌츠 카오스 로봇에서의 목표물 탐색

그림 6-8에 로렌츠 카오스 로봇에서의 목표물 탐색 결과를 나타내었다.

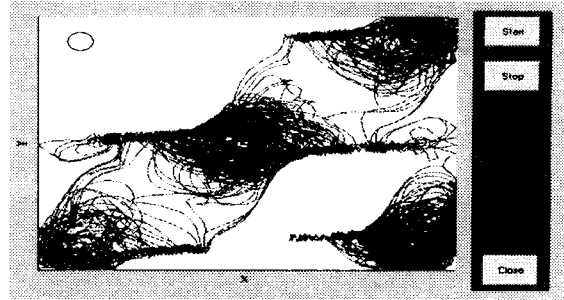


그림 6. 장애물과 목표물을 가진 카오스 이동 로봇에서 목표물 집중 탐색 궤적

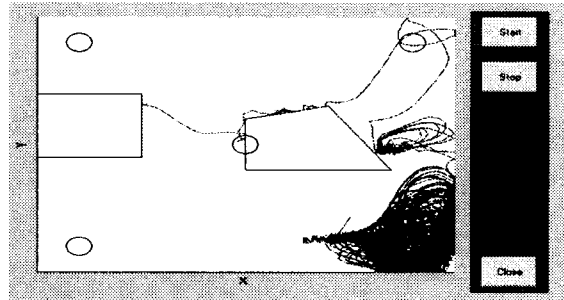


그림 7. 고정 및 은닉 장애물과 목표물을 가진 카오스 이동 로봇에서 목표물 집중 탐색 궤적

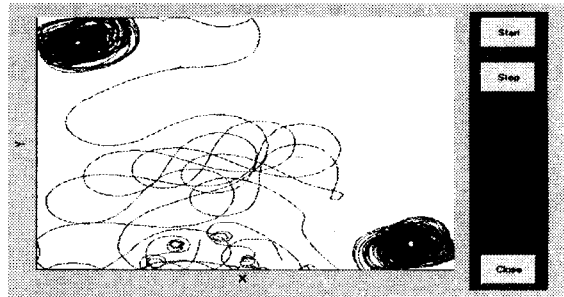


그림 8. 목표물을 가진 카오스 이동 로봇에서 목표물 집중 탐색 궤적

##### 4.3 해밀턴 카오스 로봇에서의 목표물 탐색

그림 9-11에 해밀턴 카오스 로봇에서의 목표물 탐색 결과를 나타내었다.

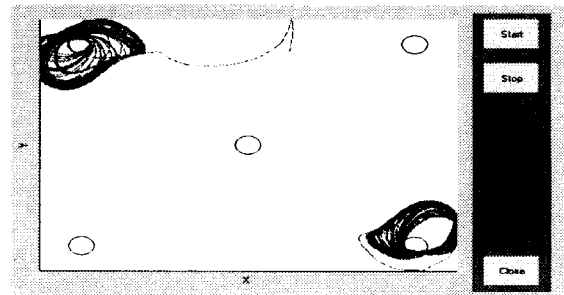


그림 9. 장애물과 목표물을 가진 카오스 이동 로봇에서 목표물 집중 탐색 궤적

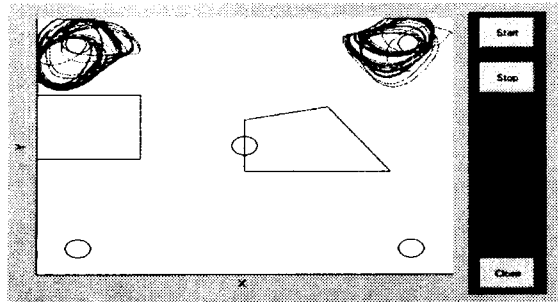


그림 10. 고정 및 은닉 장애물과 목표물을 가진 카오스 이동 로봇에서 목표물 집중 탐색 궤적

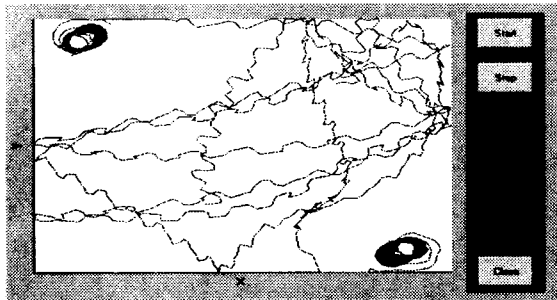


그림 11. 목표물을 가진 카오스 이동 로봇에서 목표물 집중 탐색 궤적

### 5. 결론 및 향후 과제

본 논문에서는 하이퍼카오스, 로렌츠, 해밀톤 방정식과 같은 여러 종류의 카오스 회로를 이동 로봇에 내장하여 카오스 이동 로봇을 구성하고 이 카오스 이동 로봇이 어느 임의 평면을 카오스 궤적을 가지고 탐색하다가 목표물에 근접하거나 탐색하고자 하는 목표물이 확인되면 집중적인 탐색을 실행하는 방법을 제시하고 그 결과를 검증하였다. 만족할 만한 결과를 얻었다. 앞으로 소형 무인 비행체 등 다른 이동 물체에 내장하는 것이 과제로 남는다.

### 6. 참고문헌

[1] Yoshihiko Nakamura and Akinori Sekiguchi, "The Chaotic Mobile Robot", IEEE Trans. Robotics and Automation, Vol.17, No.6, pp.898-904, 2001.  
 [2] T. Shinbrot, C.Grebogi, E.Ott, and J.A.Yorke, "Using small perturbations to control chaos," nature, vol.363, pp.411-417, 1993  
 [3] K. Cuomo, A.V.Oppenheim, and S.H.Strogatz, "Synchronization of lorenz-based chaotic circuits with application to communications," IEEE Trans. Circuits Syst. II vol.40, pp.626-633, Oct. 1993.  
 [4] T.Ushio, "Chaotic synchronization and controlling chaos based on contraction mappings," Phys.Lett.A, vol.198, no. 1, pp.14-22, 1995

[5] K.Aihara, T.Takabe, and M.Toyoda, "Chaotic neural networks," Phys.Lett.A, vol.144, no.6,7,pp.333-340, 1990  
 [6] Y.Yao and W.J.Freeman, "Model of biological pattern recognition with spatially chaotic dynamics," Neural Networks, vol.3,pp.153-170, 1990  
 [7] I.Tsuda, "Can stochastic renewal of maps be a model for cerebral cortex?," Physica D, vol.75,pp 165-178, 1994  
 [8] I.Tokuda, T.Nagashima, and K.Aihara, "Global bifurcation structure of chaotic neural networks and its application to traveling salesman problems," Neural Networks, vol.10,no9, pp.1673-1690, 1997.  
 [9] H.Okamoto and H.Fuji, Nonlinear Dynamics, Iwanami Lectures of applied Mathematics (in Japanese) Iwanami, Tokyo, 1995, vol.14.  
 [10] S.Wiggins, Introduction to applied Nonlinear Dynamical Systems and Chaos: Springer -Verlag, 1990.  
 [11] G. L. Baker and J. P. Gollub, Chaotic Dynamics an Introduction. Cambridge, U.K: Cambridge Univ.Press, 1990.  
 [12] I. Shimada and T. Nagashima, "A numerical approach to ergodic problem of dissipative dynamical systems," Prog. Theor. Phys., vol. 61, no. 6, pp. 1605-1616, 1979.  
 [13] K. Umeno, "Chaos and computing" (in Japanese), Math Sci, no. 415, pp.60-68, Jan. 1998.  
 [14] S.Wiggins, Introduction to applied Nonlinear Dynamical Systems and Chaos: Springer -Verlag, 1990.  
 [15] 배영철,김주완,최남섭, " The Collision Avoidance Method in the Chaotic Robot with Hyperchaos Path", 한국해양정보통신학회 2003년 추계 종합 학술 대회, 7권 2호, pp.584-588, 2003.  
 [16] 배영철,김주완,최남섭, " The Analysis of Chaotic Behaviour in the Chaotic Robot with Hyperchaos Path of Van der Pol(VDP) Obstacle", 한국해양정보통신학회 2003년 추계 종합 학술 대회, 7권 2호, pp.589-593, 2003.  
 [17] Y. C. Bae, J.W. Kim, Y.I, Kim, " Chaotic Behaviour Analysis in the Mobile of Embedding some Chaotic Equation with Obstacle", 퍼지 및 지능시스템 학회 논문지, 12 권 6호, pp.729-736, 2003.  
 [18] Y. C. Bae, J.W. Kim, Y.I, Kim, " Obstacle Avoidance Methods in the Chaotic Mobile Robot with Integrated some Chaotic Equation", International Journal of Fuzzy Logic and Intelligent System, vol. 3, no. 2. pp. 206-214, 2003.  
 [19] Y. C. Bae, J.W. Kim, Y.I, Kim, " The Obstacle Collision Avoidance Methods in the Chaotic Mobile Robots", ISIS 2003 Proceeding of the 4th International symposium on Advanced Intelligent System, pp. 591-594, 2003.